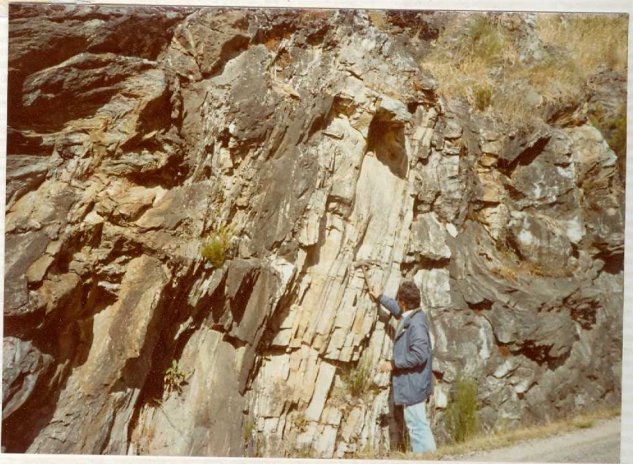




09-12-IB-JQ-1.363.- Pliegues de F_{III} en la migmatitas hetero
génées de las serie de "Viana". PC



09-12-IB-JQ-1.364.- Cuarcitas intercaladas en la serie de "Viana". (T).



09-12-IB-JQ-1.371.- Pico de Valdecasares-Ordovícico Inferior
Esquistos en estructuras migmatíticas.
(O¹).



09-12-IB-JQ-1373.- Contacto entre ortoneis migmatizado y serie de "Viana".



09-12-IB-JQ-1.374.- Panorámica. Granito de neisificado en con-
tacto con el ortoneis y/o "Ollo de Sapo"
 $\left(\frac{d}{x} T^2\right)$.



09-12-IB-MA-250.- Cuarcitas próximas a la blastomilonita replegadas, contenidas en la serie de "Viana", en la carretera de Piñas a Barjacoba (PC).



09-12-IB-MA-251.- Detalle de la anterior. Repliegue de una fase anterior contenido en un flanco (PC)



09-12-IB-MA-252.- Aspecto de la blastomilonita, situada colindante al embalse de Piñas. (5).
x



09-12-IB-MA-253.- Pliegue a escala meso en la serie de serig
matitas heterogéneas (PC) de la serie de
"Viana" situado en el embalse de Piñas.



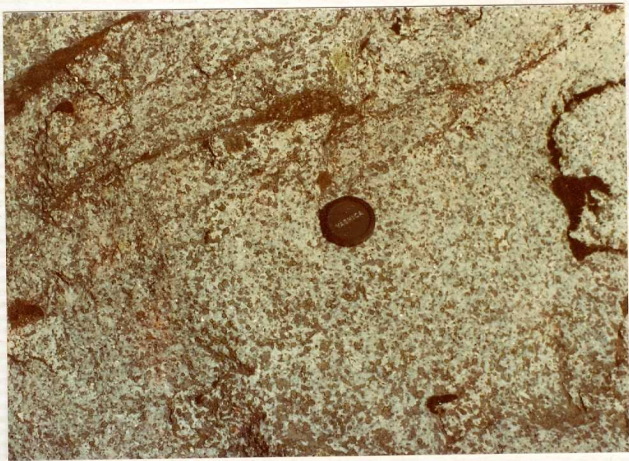
09-12-IB-MA-254.- Estructuras flebíticas dentro de las migmatitas heterogéneas de la serie de "Viana". (PC).



09-12-IB-MA-255.- Replegamiento (F_{III}) en migmatitas heterogéneas de la serie de "Viana" (PC).

09-12-IB-MA-256.- Estructuras ptygmáticas en la serie "Viana"
(PC).





09-12-IB-MA-257.- Granito de dos micas (γ^2_{2-3} b.n)

09-12-IB-MA-258.- Crenulación en las facies de tipo PC_N con megacristales de feldespato.





09-12-IB-MA-259.- Crenulación en las facies de tipo PC_N con megacristales de feldespato.



09-12-IB-MA-260.- Aspecto del ortoneis y/o "Ollo de Sapo" las facies próximas a Porto. (PC_ζ).



09-12-IB-MA-261.- Aspecto del ortoneis y/o "Oollo de Sapo" en las facies próximas a Porto (PC_5).



09-12-IB-MA-262.- Embalse de Pías, situado en un contexto de migmatitas heterogéneas (PC).



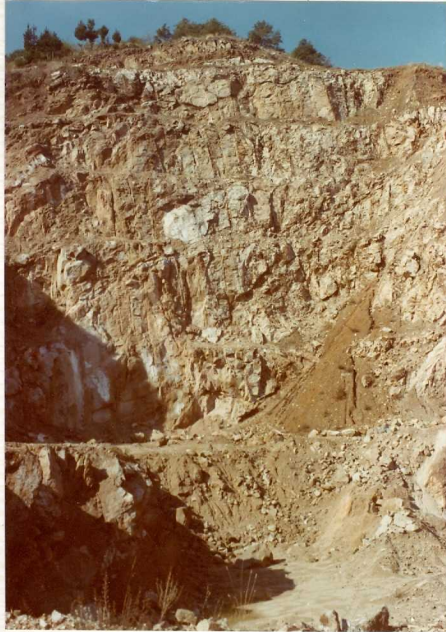
09-12-IB-MA-263.- Replegamiento de las cuarcitas (T) de F_{III} incluidos en la serie de "Viana".



09-12-IB-MA-264.- Crestones conformados por las cuarcitas de la serie de "Viana", en los alrededores de Taboaza. (T)

09-12-IB-MA-265.- Replegamientos de tipo F_{III} en la serie
Porto.





09-12-IB-MA-266.- Cantera de caliza situada en los alrededores de Seoane. C



09-12-IB-;A-267.- Replegamiento de las calizas en las cante-
ras de Seoane. C



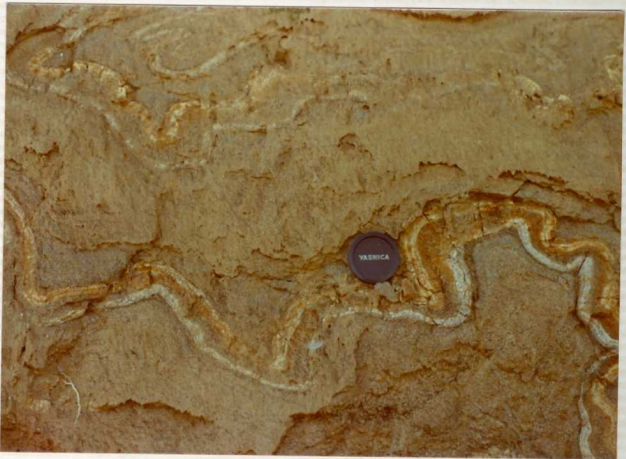
09-12-IB-MA-268.- Pliegue de tipo F_{II} detalle de la anterior. C



09-12-IB-MA-269.- Detalle de la anterior, pliegue en calizas
de tipo F_{II}. C



09-12-IB-MA-270.- Detalle de la anterior, pliegue en calizas
de tipo F_I·C



09-12-IB-MA-271.- Serie de "Viana", estructuras ptygmáticas. PC



09-12-IB-MA-272.- Ortoneis y/o "Ollo de Sapo". Contacto de un gabarro contenido en esta formación. (ξ)



09-12-IB-MA-273.- Alternancias de cuarcitas y filitas. Fractura con pliegues de arrastre (O^2_{12}).
12

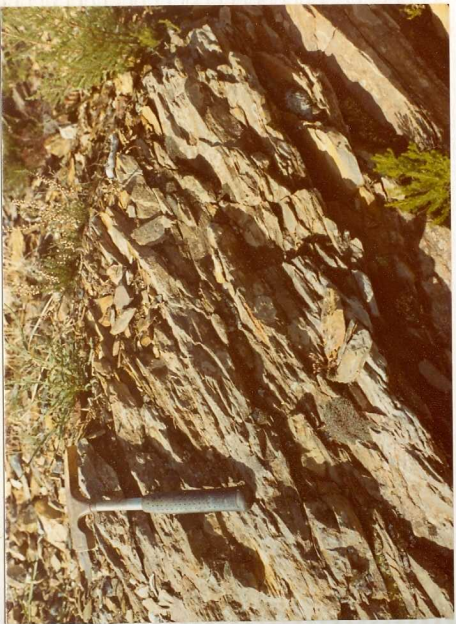


09-12-IB-MA-274.- Replegamiento de F_1 , las alternancias de cuar
citas y filitas (O_{12}^2).



09-12-IB-MA-275.- Replegamiento, en las alternancias de cuar
citas y filitas, de tipo F_1 ($O_{12}^2 L$).

09-12-IB-MA-276. - Detalle de las grauvacas basales del silúri
co. (SW)





09-12-IB-MA-277.- Panorámica; al fondo alternancias de cuarcitas y filitas (O_{12}^2).



9-12-IB-MA-278.- Contacto del granito de dos micas con la serie Paleozoica.



09-12-IB-MA-279.- Alternancia de cuarcitas y pizarras en pequeños bancos (O^2_{1-2})



09-12-IB-MA-280.- Aspecto del granito, ocasionalmente orientado, de dos micas. $d_2^{23} \gamma_b$ m



09-12-IB-MA-281.- Afloramiento aislado de los depósitos posiblemente del Terciario próximo a Viana del Bollo (T_2^B).

09-12-IB-MA-285.- Migmatitas homogéneas (Ψ).

